

プレキャストコンクリート床版の疲労強度に関する実験的研究

神戸製鋼所正員 波田 駿夫 正員 伊丹 秀幸

" 守 国夫

" 堤 刚

" ○大坂 雄右

1. まえがき

橋梁用コンクリート床版の施工を省力化するため、小型T形鋼を主部材としてコンクリートを工場で打設し、現場では床版ブロックの継ぎ合部にのみコンクリートを打設する方法がある。このプレキャスト床版で問題となるのは、床版継ぎ合部の静的、動的耐力である。今回は2種類の継ぎ合型式を考え、継ぎなしに対する耐力を比較検討し、同時に疲労強度について2, 3考察をした。

2. 供試体および実験方法

供試体の形状および寸法を図-1に示す。NO.1, 2は静的供試体、NO.3～7は疲労供試体とした。それぞれの継ぎ合形状を図-1(a), (b)に示す。

設計条件は道路公団で示された「橋梁鉄筋コンクリート床版の設計要改訂案」にもとづいた。すなわち従来の鋼道路橋設計基準で決められた後輪荷重(T-20) 80tを2割増して9.6t/kmで衝撃荷重を加え、13.2t/kmとしたものである。載荷は電気油圧式65t/km疲労試験機によって、継ぎ合部中心(図-1参照)に、輪荷重を毎分150回の速度で繰返し載荷した。供試体は単純支持として長辺方向(x方向)を支持し、短辺方向は自由とした。また繰返し数Nと応力および変形の関係を知るために、途中で繰返し載荷を止め、静的上限荷重まで載荷して、ひずみと変形を測定した。

3. 実験結果

実験結果を表-1に示す。

各供試体の最大繰み(相対変位)およびひずみ(相対ひずみ)を繰

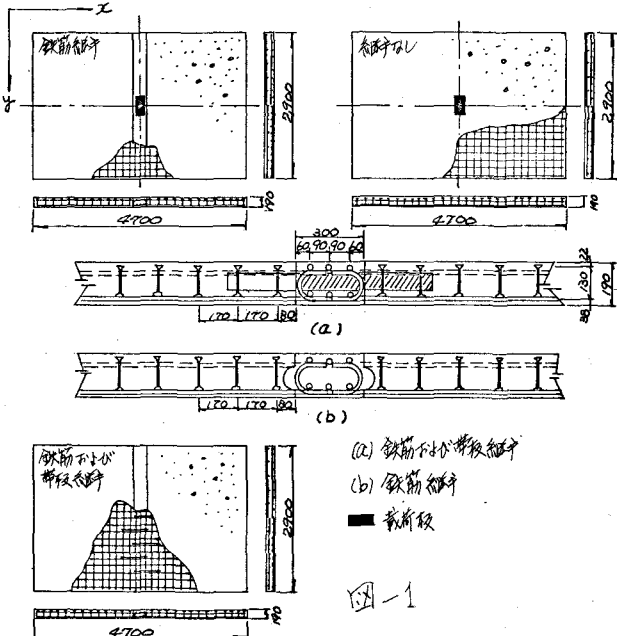


図-1

試験体	荷重 振幅 [TON]	繰返し数 $N \times 10^6$	継ぎ合 形	種類	東験種別	備考
NO.1				鉄筋端	静的	9.6t/kmで破壊
NO.2				帶板	"	9.25t/kmで破壊
NO.3	0.5～30.0	2.20	継ぎなし	動的	疲労破壊	
NO.4	0.5～13.2 " ～20.3 " ～23.6 " ～30.0	2.03 1.08 0.90 0.64	鉄筋 継ぎ	"	疲労破壊	$N = 4.65 \times 10^6$
NO.5	0.5～24.5 " ～30.0	2.00 1.70	帶板 継ぎ	"	疲労破壊	$N = 3.70 \times 10^6$
NO.6	0.5～24.5 " ～30.0	2.00 "	鉄筋 継ぎ	"	疲労破壊	$N = 4.00 \times 10^6$
NO.7	0.5～30.0	3.08	帶板継ぎ	"	疲労破壊	

表-1

延び数 N の関係を図-2, 図-3 に示す。
参考として、NO.3とNO.5の線延び数 N と接着
およびひずみ（いずれも相対的なもの）を、
図-5 に示す。なお破壊は各供試体とも試験
機の荷重制御が、不可能となりて後階で破壊
した。

4. 考察

a) 実験の結果判明したことあげると。

(1) NO.4～NO.7 の継手を有する供試体と、NO.3 の継手なしの供試体の線延び数載荷実験の結果、現用継手の疲労強度は満足出来るものであり、NO.5 の供試体でわかるように設計荷重 P に対する疲労強度を充分安全であることがわかった。

(2) 各供試体とも破壊につながると思われるコンクリートクラックの発生が低い線延び回数に生じ、そのクラック幅の増大にともない主部材である小型工形鋼の疲労破壊が二方向に広がることによって最終的に破壊を起していいると思われる。

(3) 配力筋を通して小型工形鋼のウェブにあけられたパンチ穴に応力集中が起り、その部分よりクラックが発生している。（写真1を参照）

(4) 2つの継手の優劣はつけ難いが、ともに200万回疲労強度は、30万N以上であることが推定される。

b) 床版の破壊はほとんど主部材の小型工形鋼の疲労クラックの発達と同時に生じてなるものと思われる。そこで床版の疲労に対する最終強度は、小型工形鋼単体の疲労強度に大きく左右されると考えられるので、小型工形鋼素材の $S-N$ 曲線を実験で求めた。これによると、 $S-N$ 曲線は $S = a - b \log N$ で表められる。そこで小型工形鋼素材と床版の実験結果を考慮して次のような仮定を設けた。

(1) 各床版の疲労強度が小型工形鋼のみで決定される。

(2) 小型工形鋼素材の $S-N$ 曲線と同様な性状を、プレキャスト鋼格子床版も示す。

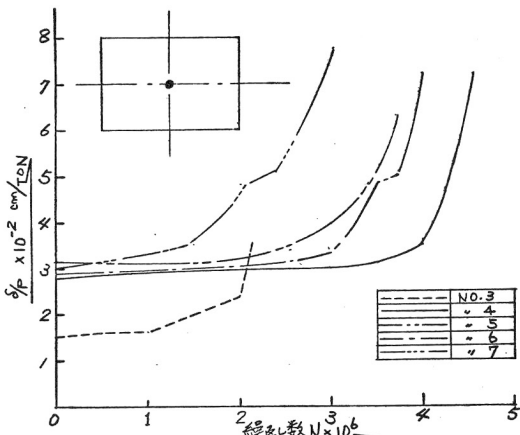


図-2

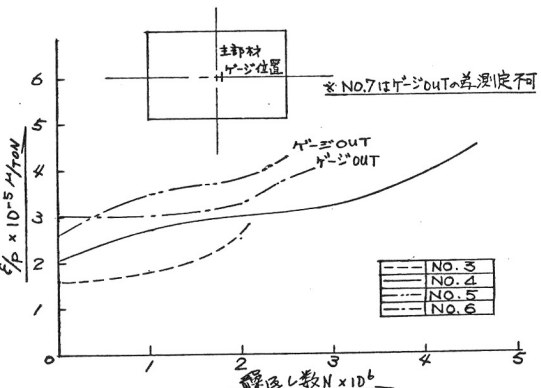
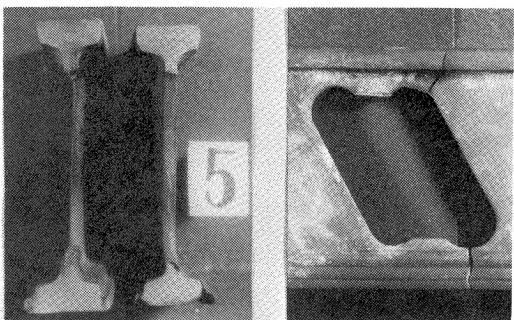


図-3



写-1

この2つの仮定により、各床板のS-N曲線は小型工形鋼のS-N曲線に平行、すなわち同じ勾配になると考へる。さらに床板疲労試験の途中における荷重増加の影響はマイナーハザードを満足するとして、 α の値を求めS-N曲線を推定した。これを図-4に示す。

これによつてN.O.3の結果を対し、

N.O.4～N.O.7の結果を有する床板強度が大きいたと、またN.O.6を除ひて 2×10^6 回疲労限は、素材、床板ともほぼ近い値を示すことがわかる。

コンクリート床板の疲労強度を把握するには多くの問題点を含んでいる。

しかし、今回のように疲労による最終破壊が小型工形鋼の疲労クラックの発達で左右されると考えられる場合、小型工形鋼単体の疲労から床板の疲労限がある程度可能となり、床板の疲労設計に対してより合理的な安全率を提供すると考えられる。今後さらにこの種の実験を重ね床板の疲労限度を検討していく予定である。

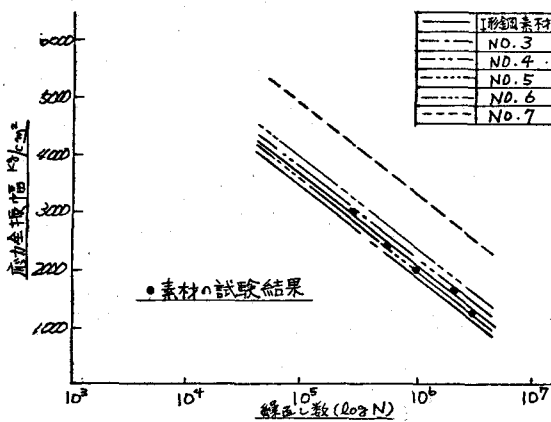


図-4

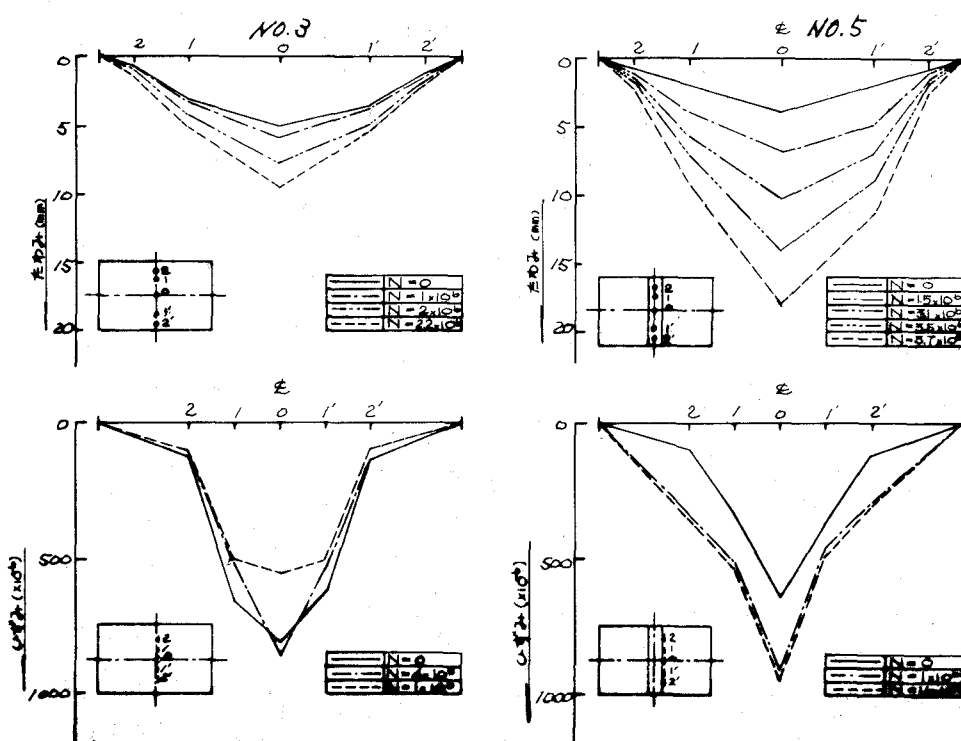


図-5